

کانی‌شناسی، ساخت و بافت و نحوه تشکیل رخداد مس رسوی - دیاژنیک مارکشه، تیپ Redbed، در سازند سرخ گرده به سن ژوراسیک، جنوب ایران مرکزی

 امیر مهدوی^۱، ابراهیم راستاد^۱، محبوبه حسینی بروزی^۲
^۱گروه زمین‌شناسی، دانشگاه علوم پایه، دانشگاه تربیت مدرس، تهران، ایران

^۲گروه زمین‌شناسی، دانشگاه علوم زمین، دانشگاه شهید بهشتی، تهران، ایران

تاریخ پذیرش: ۱۳۸۷/۰۹/۲۸

تاریخ دریافت: ۱۳۸۷/۰۹/۱۶

چکیده

رخداد مس مارکشه در شمال باختری راور و در حاشیه جنوب باختری بلوک طبس واقع شده است. واحدهای سنگی در برگیرنده این رخداد شامل لایه‌های سرخ (Redbed) که در محدوده‌ای به طول بیش از ۴۰۰ کیلومتر گسترش یافته است. این لایه‌ها شامل تنابوی از ماسه‌سنگ، کنگلومرا و سیلستون سرخ اکسیدان (هماتیت‌دار) است که در بخش‌های احیایی شده‌اند. کانه‌زایی در افق‌های احیایی دیرینه (Paleochannel) رخ داده است. در محدوده رخداد مس مارکشه، دو افق اصلی احیایی و ۴ زیرافق قابل تشخیص است که هر یکی، از سه پهنه قرمز اکسیدان (Red Zone)، پهنه شسته شده (Bleached Zone) و پهنه احیایی کانه‌زایی شده (Mineralized Zone) تشکیل شده‌اند. با توجه به ویژگی‌های رخداد مس مارکشه مانند تنابوی عدی و وابسته به لایه، گسترش ناحیه‌ای، ساخت و بافت جانشینی و دانه‌پراکنده، کانی‌شناسی ساده، وجود آثار و بقایای گیاهی و تمرکز کانه‌زایی مس در ارتباط با آن، این رخداد مارکشه را می‌توان یک رخداد مس با میزان رسوی و از نوع Redbed type sediment-hosted copper deposit (Early diagenesis) و تشکیل سنگ میزبان و پیش از تدفین ژرفی تشکیل شده است.

کلیدواژه‌ها: مس رسوی - دیاژنیک، کانال‌های دیرینه، پهنه‌های اکسیدان، احیایی و کانه‌زایی شده، مارکشه، راور

E-mail: am.mahdavi@yahoo.com

*نویسنده مسئول: امیر مهدوی

۱- مقدمه

و ۳) و توسط واحد تبخیری مارن گچ‌دار و گچ (K_{shl}) و سنگ‌آهک خاکستری ستبرلایه کرتاسه (I_K) پوشیده می‌شود (شکل ۴). واحد در برگیرنده کانه‌زایی مس در رخداد مس مارکشه، بخش خاکستری و احیایی لایه‌های سرخ گرده، شامل کنگلومرا دانه‌پراکنده تا متوفط، ماسه‌سنگ و سیلستون است (شکل ۳). سنگ‌های تبخیری سری مگو (Jm) واقع در زیر سازند سرخ گرده (شکل ۲ و ۳)، در بخش‌هایی به صورت دیاپیر، واحدهای سرخ لایه (Redbed) را قطع کرده و باعث بهم ریختگی این توالی شده‌اند (Stoclin et al., 1972). توالی لایه‌های سرخ گرده با سنگ‌های تخریبی و کربناتی روی آن، چین خوردگی شدیدی را تحمل کرده و موجب رخمنون تاقدیس و ناودیس‌های بهم پیوسته‌ای شده است. روند چین خوردگی‌ها بیشتر شمال باختر- جنوب خاور و روند گسل خوردگی‌ها شمالی- جنوبی و شمال باختر- جنوب خاور است.

۲- محیط رسویگذاری

در لایه‌های سرخ گرده در ترکیب لیتارنایتی بیشتر ماسه‌سنگ‌ها، وجود چرخه‌های درشت‌شونده به سمت بالا همراه با حضور آثار حفاری کرم‌ها از نوع اسکولیتوس (Skolithos)، ساختمان‌های رسوی همچون ریپل مارک موجی و طبقه‌بندی مورب و نیز وجود کانال‌های دیرینه، نشان‌دهنده محیط دلتایی است که محدوده ژرف میان‌کشندی را برای طبقات ماسه‌سنگ توالی سرخ گرده نشان می‌دهد. روند کلی درشت‌شونده، به سمت بالا در کل نهشته‌های یادشده، حاکی از محیط دلتایی پسروند و کاهش ژرفای آب است (Catuneanu, 2006).

وجود افق خاک‌های دیرین از نوع کالیچ در شمال باختر منطقه مارکشه، در بالاترین افق از این نهشته‌ها، نشان‌دهنده نهشت در حاشیه‌ای ترین موقعیت این حوضه رسوی دلتایی- کشندی است. این پدیده در واقع معرف زمان بیرون‌زدگی رسویات حاشیه حوضه از آب است.

کانسارهای مس رسوی، دومین تولید کننده مس جهان، پس از کانسارهای مس پورفیری، و مهم‌ترین منبع تأمین کننده کبات است و در حال تبدیل به یکی از مهم‌ترین منابع تأمین نفره جهان هستند (Hitzman et al., 2005). بلوک طبس در خرد فاره ایران مرکزی از جمله مناطقی در ایران است که تاکنون بررسی‌های اندکی در مورد توان معدنی آن صورت گرفته است. وجود آثار کانی‌سازی مس رسوی در ماسه‌سنگ‌های تخریبی سرخ رنگ ژوراسیک سازند سرخ گرده در گستره‌ای به طول بیش از ۴۰۰ کیلومتر وجود دو رخداد مس مارکشه و آغاز مسی در شمال باختر راور و رخداد چشم‌سفید در شمال طبس (شکل ۱) پتانسیل بالای کانه‌زایی مس رسوی در این بلوک را نشان می‌دهد (مهدوی, ۱۳۸۷) که می‌توان آن را به عنوان پهنه مس رسوی راور- طبس- عشق‌آباد معرفی کرد. رخداد مس مارکشه با مختصات جغرافیایی ۳۵° ۵۶' طول خاوری و ۴۲° ۳۱' ۲۴' ۵' عرض شمالی، در فاصله ۱۵ کیلومتری شمال باختر راور و در حاشیه جنوب باختری پهنه ساختاری بلوک طبس واقع شده است. در این پژوهش تلاش شده است تا افزون بر شناسایی و پی‌گیری گسترش کانه‌زایی مس در شمال باختر راور و جنوب خاور بهباد (استان یزد)، ویژگی‌های کانی‌شناسی، ساختی و بافتی و همچنین چگونگی تشکیل رخداد، بررسی و همراه با آن نوع (تیپ) رخداد مس مارکشه نیز در مقایسه با انواع جهانی ذخایر مس در سنگ‌های میزبان رسوی، مشخص و معرفی شود.

۳- زمین‌شناسی

نهشته‌های موجود در منطقه راور بیشتر شامل رسویات مزوزویک بویزه نهشته‌های ژوراسیک پسین- کرتاسه هستند (Stoclin et al., 1972). این مجموعه که گستردگی زیادی از جنوب راور تا پیرامون طبس دارد شامل ماسه‌سنگ و سیلستون با میان‌لایه‌های میکر و کنگلومرا تا کنگلومرا (لایه‌های سرخ گرده) (JK) است که واحدهای نمک ژوراسیک بالا (Jm) را پوشانده است (آقاباتی، ۱۳۸۳) (شکل ۲)

۵- دگرسانی در مرحله دیاژنز و نقش آن در تشکیل پهنه‌های مختلف در افق‌های کانه‌دار

هر یک از افق‌های احیایی کانه‌دار از سه پهنه تشکیل می‌شود که در طی مراحل مختلف دیاژنوز اولیه (Early diagenesis) و پیش از تدفین ژرفی (جدول ۱) بر اثر پدیده‌های دگرسانی ایجاد شده‌اند، این پهنه‌ها عبارتند از:

۵-۱. پهنه سرخ اکسیدان (Red Oxidized Zone)

پهنه اکسیدان پیشترین بخش لایه‌های سرخ گرده را تشکیل می‌دهد که افق‌های احیایی را از بالا و پایین در بر می‌گیرد (شکل ۹). رنگ این بخش از قهوه‌ای تیره تا سرخ - نارنجی روش تغییر می‌کند. ترکیب سنگی این بخش پیشتر از لیترانایت فلدسپاردار تا آر کوزلیتیک بسیار دانه‌ریز تا دانه متوسط تشکیل شده است. گاه کنگلومرای دانه‌ریز و سیلتستون سرخ نیز در آن دیده می‌شود. رنگ سرخ این بخش به دلیل حضور مقادیر زیادی هیدروکسید آهن است. هیدروکسیدهای آهن به صورت قشر باریکی پیرامون قطعات آواری، بویزه دانه‌های کوارتز وجود دارد. اجزای تشکیل دهنده این بخش عبارتند از: کوارتز، فلدسپار پتاسیم (پیشتر ارتولاز و کمی میکروکلین) و مقادیر کمتری پلاژوکلاز (آلیت) و کانی‌های رسی. سیمان در سنگ‌های پهنه سرخ اکسیدان شامل مواد کربناتی و به مقدار کمتر سیلیس، اکسید آهن و کانی‌های رسی است. پیشتر کانی‌های رسی در مقاطعه میکروکسکوبی قابل تشخیص نیستند اما تجزیه XRD، وجود ایلیت و کائولینیت را در این مجموعه ثابت کرده است. تنها کانی مس دار موجود در این پهنه، نتوتوسیت است که به طور ثانویه در بخش‌های نزدیک به پهنه کانه‌زایی شده تشکیل می‌شوند.

۵-۲. بنه شسته شده (Bleached Zone)

این پهنه در واقع بخشی از توالی لایه‌های سرخ گرددو است که در مرحله دیاژنیسیون (Middle diagenesis) (جدول 1) دچار دگرگانی شده است. به طوری که تحت تأثیر سیال احیا، رنگ سرخ - نارنجی ماسه‌سنگ به سفید، قوههای مایل به زرد، خاکستری و یا سبز تبدیل شده است. در این پهنه، اکسیدهای آهن از پیرامون دانه‌ها، شسته شده‌اند و در نتیجه، این پهنه از نظر مقدار آهن از خود تهی شد گشته باشد. آهن جدا شده یا به صورت پریت ریزدانه و پراکنده تهی نشسته باشد و یا به صورت اکسیدهای آهن سخت شده (Consolidated Iron Oxide) (CIO) در مرز اکسیداسیون - احیا (Redox-boundry) تجمع پیدا می‌کند. در پهنه شسته شده، کانی ثانویه نتویتیست (Chan et al., 2000; MacIntyre, 2005) فراوانی پیشتری نسبت به پهنه سرخ اکسیدان دارد.

۵-۳. پنهانه احیایی کانه‌زایی شده (Mineralized Reduced Zone)

در رخداد مس مارکشه، بخش های کانه دار به شکل عدسی، درون بخش شسته شده (Bleached zone) افق های احیایی تشکیل شده اند (شکل ۷). مهم ترین عامل مؤثر در تشکیل این پنهان، فراوانی قطعات فسیل گیاهی و مواد آتی به عنوان عامل احیا و نیز تغذیه پذیری سنگ ها در بخش شسته شده است. فسیل های گیاهی موجود در رخداد مس مارکشه در بخش زیرین کانال های دیرینه موجود در افق های احیایی تجمع یافته اند. فسیل های گیاهی با ایجاد یک محیط احیا در پیرامون خود ابتدا موجب دگرسانی شستشو (Bleaching) و تشکیل پنهان شسته شده و سپس باعث تهشیست مس و دیگر عناصر فلزی موجود در سیال اکسیدان عبور کننده از درون کانال های در نهضه می شوند.

۶- کانی‌شناسی و ساخت و بافت

مهم‌ترین کانی‌های سولفیدی موجود در رخداد مس مارکشه عبارتند از کالکوست، کوکولیت، دیزنت، آرژنتیت، پیریت و کالکوپیریت که به صورت بافت‌های دانه‌پراکنده، جانشینی، سیمان میان دانه‌ای و درزه‌های انحلالی دیده می‌شوند.

۴- کانه‌زایی

کانه‌زایی مس در گستره وسیعی از حاشیه باختری بلوک طبس، از جنوب راور تا شمال عشق‌آباد، درون لايهای سرخ گرددو دیده می‌شود (شکل ۱). در تجزیه رژیو شیمیایی نمونه‌ها، وجود مقادیری بی‌هنچاری اورانیم نیز همراه با کانه‌زایی مس دیده شد (مهدوی، ۱۳۸۷). در رخداد مس مارکشه کانه‌زایی در افق‌های احیایی و در ارتباط با کاتال‌های دیرینه رخ داده است (Mahdavi et al., 2008). کاتال‌های دیرینه درون افق‌های احیایی از کنگلومرات ریزدانه در بخش زیرین تشکیل شده است که به سمت بالا از اندازه دانه‌ها کاسته و به تدریج به ماسه‌سنگ و ماسه‌سنگ بسیار دانه‌ریز تبدیل می‌شود (شکل ۵). به طور کلی دو افق اصلی در رخداد مارکشه قابل تشخیص است (شکل ۳) که پیزگی‌های آنهای، از قدیم به جدید به شرح زیر است:

۴-۱. افق OH-A

سنگ‌شناسی این افق، لیتارنیت درشت‌دانه تا میکرو-کنگلومراخ خاکستری روش متداول به سبز و ماسه سنگ ریزدانه است. این افق با امتداد خاوری- باختری، افق اصلی در این رخداد و شامل دو زیرافق احیایی $1_{\text{OH-A}}$ (با ستبرای ۴-۹ متر در پایین) و $2_{\text{OH-A}}$ (با ستبرای ۱-۱۰ متر در بالا) است (شکل ۶). فاصله این دو زیر افق از یکدیگر حدود ۲-۵ متر است. در بعضی نواحی، این دو زیر افق با یکدیگر تلفیق شده و یک افق احیایی ستبر (حدوداً ۲۰ متر) را تشکیل می‌دهند و گاهی نیز به یک سمت باریک و در نهایت به پهنه ماسه سنگ سرخ تبدیل می‌شوند، اما پس از طی مسافتی دوباره ظاهر می‌شوند. فراوانی قطعات فسیل گیاهی و مواد آلی در این افق بیشتر از افق دیگر است. به طور کلی این افق پتانسیل کانه‌زایی بیشتری نسبت به افق OH-B دارد (مهدوی و همکاران، ۱۳۸۶). ترانشه‌های حفر شده در محل رخداد می‌نمایند و همچنین تونل متروکه با خطر محدوده، بر روی این افق قرار دارند.

٤-٢٠١٩

سنگ شناسی این افق شامل میکرو کنگلومرا تا ماسه سنگ درشت دانه خاکستری و ماسه سنگ ریز دانه خاکستری است. این افق که در فاصله ۱۵۰ متری بالای افق OH-A قرار گرفته (شکل ۳)، ۵۰ متر سبیرا دارد و شامل دو زیر افق احیایی B-OH و OH-B₂، به فاصله ۳۰-۲۵ متر از یکدیگر است. سبیرای هر یک از این زیر افق های احیایی به ترتیب ۸ تا ۱۲ و ۴ تا ۲ متر است (شکل ۶). با توجه به بررسی های انجام شده، افق های اصلی و زیر افق های احیایی موجود در رخداد مارکشه در بخش های دیگری از بخش جنوبی پهنه مس راور- طبس- عشق آباد، مانند اندیس های کمر مسی و کوه گل و شور (شکل ۱) در شمال با خطر راور نیز قابل تشخیص است.

کانه‌زایی در این دو افق، درون قاعده رسویات کانال‌های دیرینه محیط
دلتایی تشکیل شده است. در این کانال‌های دیرینه، رسویات برخلاف چرخه‌های
درشت‌شونده لایه‌های سرخ گرده‌دو، به سمت بالا دانه‌ریز می‌شوند (شکل ۵).
کانه‌زایی مس در بخش‌هایی از این زیر افق‌ها که فسیل گیاهی وجود دارد دیده
می‌شود. این بخش‌های کانه‌دار به صورت عدسی‌هایی با طول ۱۰۰-۲۰۰ متر و سبیرای
۶-۲/ متر دارند. افق‌های احرار دانه‌ریز شدن (شکل ۸).

قطعات چوبی و فسیل‌های گیاهی به عنوان عامل اصلی احیای محیط در کنگلومرا و ماسه سنگ‌های موجود در کانال‌های دیرینه پیشترین تمرکز را دارند (Jowett, 1991) (شکل ۷). کانه‌زایی مس در رخداد مس مارکشه رابطه نزدیکی با این تجمعات فسیل گیاهی دارد (مهدوی، ۱۳۸۷). سولفیدهای مس، پیشتر در پیرامون فسیل‌هایی که درون واحدهای سنگی درشت‌دانه و نفوذپذیر تجمع یافته‌اند، تشکیل شده‌اند. این در حالی است که، در بخش‌های با نفوذپذیری کم (ریزدانه) برخلاف وجود قطعات فسیلی، کانه‌زایی به ندرت گسترش یافته است. به عبارت دیگر، افزون بر حضور قطعات فسیل گیاهی، نفوذپذیری واحدهای سنگی درشت‌دانه، از عوامل عمدی و اصلی تمرکز کانه‌زایی مس است (Kirkham, 1996).

۱-۶. بافت دانه‌پراکنده

بار لیتوستاتیک و در سطوحی موازی با لایبندی سنگ میزان تشکیل می‌شوند. در اثر فشار بار لیتوستاتیکی، ذرات قابل حل به صورت شیمیایی انحلال پیدا می‌کنند و در صورت وجود اجزای غیرقابل انحلال، این ذرات در میان دانه‌های انحلال یافته (فضای درون درزه‌های انحلالی) باقی می‌مانند. این اجزای غیرقابل حل می‌توانند کانی سولفیدی و یا مواد آلی باشند (Durieux & Brown, 2007). در رخداد مس مارکش نیز، فشار وارد بر ذرات کوارتر، موجب انحلال مرزهای آنها شده است. در مواردی که کانی سولفیدی (کالکوسیت) در چنین مکان‌هایی حضور داشته است، این سولفیدها در میان درزه‌های انحلالی باقی مانده‌اند که در مرحله بروزنزد به مالاکیت تغییر یافته‌اند.

۷- خاستگاه و نحوه تشکیل

در کانسارهای مس رسویی و در طی فرایند دیاژنر اولیه (Early diagenesis)، هیدرولیز کانی‌های سیلیکاتی مانند پلازیوکلاز، هورنبلند و بیوتیت موجب آزاد شدن آهن موجود در شبکه آنها، به صورت هیدروکسید آهن فریک (پیش‌ماده اولیه هماتیت) می‌گردد که با تجمع در پیرامون دانه‌های آواری، باعث سرخ شدن رسویات در مراحل اولیه دیاژنر می‌شود (Walker, 1989).

همچنین در طی دیاژنر اولیه و در اثر تخریب مواد آلی، اسید هومیک ایجاد می‌شود و در محیط اسیدی ناشی از آن، تخریب برخی از کانی‌های سیلیکاتی ادامه می‌یابد. در اثر تخریب کانی‌های سیلیکاتی، جانشینی پلازیوکلاز توسط پتانسیم فلدسپار در جازا (اوتوژنیک) و نیز شسته شدن بیوتیت، عناصر فلزی موجود در شبکه آنها آزاد و این عناصر توسط هیدروکسیدهای آهن و اسماکتیت موجود در زمینه رسی ماسه‌سنگ، جذب می‌شوند (Brown, 2003).

در مراحل بعدی دیاژنر، طی تبلور و بلوغ اسماکتیت آهن بی‌شکl و تبدیل آنها به هماتیت (Chan et al. 2000) و همچنین تبدیل اسماکتیت به ایلیت، محتوای فلزی درون این کانی‌ها، از جمله مس و نقره، آزاد و وارد سیال اسماکتیت می‌شوند و می‌توانند توسط آن حمل شوند (شکل ۱۵). در رخداد مس مارکش سیال اسماکتیت کانه‌دار در اثر فشار بار لیتوستاتیکی لایه‌های سرخ گرده‌دو، و در اثر آب‌زدایی و انحلال کانی‌های تبخیری در توالی تبخیری‌های سری مگو (شکل ۱۵)، که (در پنهان مس رسویی راور- طبس- عشق‌آباد) در زیر رسویات لایه‌های سرخ گرده‌دو قرار گرفته‌اند، ایجاد می‌گردد. این سیال غنی از کلرید و با شوری متوسط تا بالا است که تحت تأثیر شب حرارتی ناشی از فرایند دیاپیریسم متلقه، در رسویات سازند سرخ گرده‌دو به گردش در می‌آید، مس و دیگر فلزات آزاد شده از کانی‌های سیلیکاتی ناپایدار را به صورت کمپلکس کلریدی حمل می‌کند. افزون بر این، تخریب مواد آلی و ایجاد اسید هومیک همچنان در این مرحله ادامه دارد.

از طرف دیگر وجود تمرکزهای بالایی از مواد آلی، در چند افق از توالی لایه‌های سرخ گرده‌دو، باعث می‌شود که آب میان‌سازنده موجود در اطراف بخش‌های غنی از فسیل گیاهی تحت تأثیر مواد آلی، در چند افق از توالی لایه‌های سرخ گرده‌دو، باعث می‌شود که آب میان‌سازنده موجود در اطراف بخش‌های غنی از فسیل گیاهی شود (شکل ۱۵). در واقع باکتری‌های بی‌هوایی با گرفتن انرژی مورد نیاز خود از مواد آلی، سولفات موجود در آب میان‌سازنده را به H_2S احیا نموده، و در نتیجه افزون بر ایجاد گوگرد، باعث دگرسانی شستشو (Bleaching) در افق غنی از فسیل گیاهی می‌شوند (Brown, 2005). در این حالت، اسماکتیت آهن موجود در بخش‌های احیا شده، در مجاورت گوگرد، یا به صورت پیریت دیاژنیک تهنشست پیدا نموده و یا از سنگ شسته شده و در مرز محیط احیا و اسماکتیت شمر کریز می‌یابند.

سیال اسماکتیت کانه‌دار در مسیر چرخش خود درون لایه‌های سرخ گرده‌دو، با رسیدن به افق‌های احیایی غنی از مواد آلی و فسیل گیاهی، و در اثر برخورد با سیال

بافت دانه‌پراکنده بیشتر در پیرامون پهنه احیایی کانه‌زایی شده (غنی از فسیل گیاهی) و گاه در بخش‌های نفوذپذیر دارای مواد آلی دیده می‌شود. سولفیدهای مس و پیریت دارای این بافت هستند. کانه‌زایی سولفیدهای مس (بیشتر کالکوسیت) به صورت دانه‌پراکنده (شکل ۱۰)، در بخش‌های نزدیک به پهنه احیایی کانه‌زایی شده دیده می‌شوند. در رخداد مس مارکش کالکوسیت اولیه دانه‌پراکنده، در اثر جانشین شدن به جای دانه‌های پراکنده پیریت و یا سیمان کربناتی تشکیل شده است. همچنین قرار گیری کالکوسیت اولیه در فضای خالی میان دانه‌ها به صورت سیمان میان دانه‌ای می‌تواند بافت دانه‌پراکنده ایجاد کند (Asael et al., 2007) که در رخداد مس مارکش دیده می‌شود.

پیریت دانه‌پراکنده دو نسل دارد. نسل اول پیریت است که در مراحل اولیه دیاژنر و پس از تهنشست ژل سولفیدی به صورت فرامبوئیال از ژل سولفیدی متبلور شده است؛ پیریت نسل دوم طی دگرسانی شستشو (Bleaching) و احیا شدن محیط تشکیل شده است. هر دو نسل پیریت به صورت دانه‌پراکنده در متن سنگ دیده می‌شوند (شکل ۱۱).

۲-۶. بافت جانشینی

بافت اصلی در رخداد مارکش که بافت جانشینی است. به نحوی که در تمام کانی‌های سولفیدی مانند پیریت، کالکوسیت، کوولیت، دیژنیت و آرژنیت و نیز کانی‌های غیرسولفیدی مانند مالاکیت و کریزوکلا به چشم می‌خورد.

مواد آلی و فسیل‌های گیاهی به دلیل ایجاد شرایط احیایی، محیط مناسبی برای تشکیل و جانشینی کانی‌های سولفیدی در آنها، ایجاد می‌کنند (Subias et al., 2003). چنین شرایطی می‌تواند باعث جانشینی کالکوسیت و بورنیت، به جای سلوک‌های گیاهی و آوندهای آن شده و بافت جانشینی را ایجاد کند (شکل ۱۲).

کانی اصلی سولفیدی موجود در رخداد مارکش، کالکوسیت است که بافت چهره آن جانشینی است. کالکوسیت دو نسل دارد. نسل اول که در طی فرایند کانه‌زایی تشکیل شده است، به صورت جانشینی در پیریت فرامبوئیال نسل اول، پیریت دانه‌پراکنده، سیمان کلسیتی، دانه‌های اواری فلدسپار و همچنین به صورت سیمان میان دانه‌ای دیده می‌شود. این نوع کالکوسیت به صورت دانه‌پراکنده و در بخش‌های مجاور عدسی غنی از فسیل گیاهی تشکیل شده است. نسل دوم کالکوسیت از تبدیل بورنیت و کالکوبیریت جانشین شده در فسیل‌های گیاهی و در طی مراحل بروزنزد (سوپوژن) ایجاد شده است (شکل ۱۲).

۳-۶. بافت سیمان میان دانه‌ای

این بافت حالت خاصی از بافت دانه‌پراکنده است که در آن تمرکز سولفیدها پیرامون دانه‌های آواری زیاد دیده می‌شود و به آن سیمان میان دانه‌ای نیز گفته می‌شود. در این بافت به نظر می‌رسد فضای میان دانه‌های سنگ میزان توسط سولفید و در اشباع شده (Impregnant copper sulphide) پر شده است (MacIntyre, 2005). بافت سیمان میان دانه‌ای در رخداد مس مارکش در بخش‌های با تمرکز بالای سولفید و در مجاورت عدسی‌های غنی از فسیل گیاهی دیده می‌شود. سولفیدهای مس اشباع شده عمولاً جانشین سیمان کربناتی و حاشیه‌های خورده‌شده دانه‌های کوارتر و فلدسپار می‌شوند (MacIntyre, 2005) (شکل ۱۳).

۴-۶. بافت درزه انحلالی (Solution seams) (به شکل لامینه دروغین)

غالباً در بخش بالایی بهن احیایی کانه‌زایی شده و درون ماسه‌سنگ دانه‌ریز تا دانه‌متوسط، نوارهایی از مالاکیت به چشم می‌خورد که تقریباً به موازات لایبندی سنگ میزان تشکیل شده‌اند. در واقع این نوارهای درزه‌های انحلالی هستند که در حال حاضر مالاکیت در درون آنها دیده می‌شود (شکل ۱۴). این گونه درزه‌های انحلالی پس از مرحله دیاژنر اولیه و پیش از دیاژنر تأخیری، در جهت عمود بر فشار

کالکوسیت، بورنیت، کوولیت، دیژنیت، پیریت، مس و نقره طبیعی، گالان و اسفالریت است. کانی‌های باطله بیشتر کلسیت، دولومیت و باریت هستند. بر اساس بررسی‌های میکروسکوپی و نتایج XRD کانی شناسی رخداد مارکشه پیشتر شامل کالکوسیت، بورنیت، کوولیت، آرژنیت، پیریت و کانی‌های باطله آن پیشتر کلسیت و دولومیت است.

۹- کانسارهای شاخص مس رسوی نوع سرخ لایه (Redbed) و جایگاه رخداد مس مارکشه

کانسار مس رسوی Nacimiento (Woodward et al., 1974) در نیومکریکو و کانسار مس رسوی Lisbon Valley (Thorson, 2005) در ایالت کلرادو، به عنوان شخص جهانی کانسارهای نوع سرخ لایه (Redbed) شناخته شده‌اند (Hitzman et al., 2005). این کانسارها همانند رخداد مس مارکشه، در توالی ماسه‌سنگ و کنگلومرای سرخ رنگ در یک محیط کششی حاشیه کافتی، تشکیل شده‌اند. مهم ترین تفاوت میان کانسار Nacimiento و Lisbon Valley، نحوه دگرسانی شستشو در این دو کانسار و پیرو آن کانه‌زایی است. دگرسانی شستشو و کانه‌زایی در کانسار Nacimiento همانند رخداد مس مارکشه، در امتداد افق‌های ماسه‌سنگی و به صورت هم خواب با لایه‌بندی سنگ میزان است. اما در کانسار Lisbon Valley، دگرسانی شستشو و کانه‌زایی در اطراف گسل‌ها و گاه در امتداد افق‌های ماسه‌سنگی رخ داده و دارای کنترل کننده گسلی است. میزان نقره در کانسار Nacimiento، همانند رخداد مس مارکشه، نسبت به کانسار Lisbon Valley بالاتر است (بالاتر از ۶۰ ppm). دیگر ویژگی‌های این کانسارها مشابه یکدیگر است که در جدول ۲ آورده شده است.

۱۰- نتیجہ گیری

بررسی‌های صورت گرفته در رخداد مس مارکشه با وجود شواهدی مانند رخداد بخش عمده کانه‌زایی به صورت بافت جاشینی، حضور بافت درزه انجلاعی، نفوذبذری سنگ میزان، دگرسانی در مرحله دیاژنر و تشکیل پهنه‌های شسته شده، سرخ اکسیدان و احیا کانه‌زایی شده، کانه‌زایی در کاتال‌های دیرینه، بود بافت‌های سین‌ژنتیک، نقش تبدیل و تحولات دیاژنری کانی های رسی، نقش قطعات فسیل‌های گیاهی در احیای سیال کانه‌ساز، همیگی دلالت بر رخداد کانه‌زایی مس به صورت دیاژنریک دارد. حفظ شدگی ساختارهای سلولی در بافت جاشینی سولفیدها نشان‌دهنده کانه‌زایی پیش از تدفین ژرفی است. این پدیده‌ها کانه‌زایی در دیاژنر میانی را در رخداد مارکشه به خوبی نشان می‌دهند.

بررسی‌های انجام گرفته در رخداد مس مارکشه، همراهی کانه‌زایی مس را با دو پدیده موجود در منطقه، یعنی فسیل‌های گیاهی و گنبدهای نمکی، با توجه به بررسی‌های کانسارهای مشابه در دیگر نقاط جهان، که نشان‌دهنده ارتباط میان این پدیده‌ها و تشکیل کانسار مس رسوبی است، نشان می‌دهد. به گونه‌ای که، فسیل‌های گیاهی در تشکیل سیال احیایی، و تبخیرهای زیر لایه‌های سرخ گرددو در ایجاد سیال اکسیدان حامل فلزات کانه‌ساز نقش داشته‌اند. برخورد این دو سیال در پیرامون و محل قطعات فسیل گیاهی در پهنه شسته شده، موجب کانه‌زایی مس طی دیاژنر میانی شده است.

مطالعات پیشین در مورد کانسارهای مس رسویی نشان دهنده تشکیل کانی زایی مس با میزان رسویی در کانسارهای دهمعدن و خونگاه، درون سازندهای سنگ آهک باروتو و میلا به سن کامبرین ایران بوده است. بررسی های انجام شده اخیر (مهدوی و همکاران، ۱۳۸۶؛ مهدوی، ۱۳۸۷) کانی زایی مس را در ژوراسیک-کرتاسه نیز (نوع سرخ لایه Redbed) نشان داده است که در توالی تخریبی لایه های سرخ گرددو بلوک طبس، در ناحیه راور- طبس- عشق آباد و در طول بیش از ۴۰۰

احیایی در این بخش، باعث ناپایدار شدن کمپلکس کلریدی حامل مس می‌شود، و در نتیجه سولفیدهای مس، تنهانی و جانشین بخش‌های مختلف فسیل‌های گیاهی می‌گردند (شکل ۱۲ و ۱۵). این فرایند به طور معمول کمی پس از شروع سیستشو (Bleaching) (محیط احیایی مناسب برای تهنشست کانی‌های سولفیدی) رخ می‌دهد. بنابراین کانی‌های سولفیدی مانند کالکوپیریت، بورنیت، کالکوسویت و آرژنیت با بافت‌های جانشینی، سیمان میان‌دانه‌ای و دانه‌پراکنده، در مرحله دیاژنر میانی (Middle diagenesis) و پیش از دیاژنر تدقیقی تشکیل می‌شوند (جدول ۱).

-۸- کانه‌زایی مس مارکشه و نوع آن

ژئومتری، کانی شناسی، نوع سنگ درونگیر، نوع عامل احیا و گستردگی کم آن، نوع محیط رسوبی و عناصر همراه رخداد مس مارکشه، همگی نشان دهنده شباهه کانه زایی مس محدوده معدنی مارکشه با کانسارهای مس رسوبی نوع Redbed است. به منظور بررسی بیشتر این شباهت‌ها ابتدا به کانسارهای رسوبی نوع Redbed و ویژگی‌های آنها اشاره و سپس رخداد مس مارکشه با آنها مقایسه خواهد شد.

۱-۸ محيط زمين ساختی

محیط زمین ساختی تشکیل کانسارهای مس رسوی نوی سرخ لایه (Redbed) (مریبوط به حوضه‌های گسل خورده در نواحی مختلف مانند کافت‌ها، حوضه‌های کششی و Cox et al. (2007) حوضه‌های پیش‌بوم (فورلنده) است (Cox et al., 2007). به نظر (Cox et al., 2007) گنبدی شدن نمکی (Salt diapirism) در فرایند کانه‌سازی برخی از کانسارها، نقش بسزایی داشته است. با توجه به توالی رسوی موجود در منطقه و نیز زمین ساخت دیرینه این بخش از ایران مرکزی در زمان ژوراسیک-کرتاسه زمین ساختی تشکیل شده است. همچنین شواهد دیاپیریسم نمکی در منطقه دیده می‌شود. از شخص‌ترین کانسارهای مس سرخ لایه (Redbed) که در محیط کافت درون قاره تشکیل شده‌اند می‌توان به کانسار Nacimiento در ایالت نیومکزیکو آمریکا (Woodward et al., 1974) و Juramento در آرژانتین (Durieux & Brown, 2007) اشاره کرد که از نظر محیط زمین ساختی شباهت زیادی

۲-۳ نگاره

بنا بر گفته Cox et al. (2007)، سنگ میزان کانسارهای مس رسوی نوی سرخ لایه (Redbed)، ماسه‌سنگ، کنگلومرا و آرکوز مریبوط به محیط‌های با انرژی بالا (High-energy) با مشتاً قاره‌ای هستند. همچین، بر اساس نظر Hitzman et al. (2005) کانسارهای مس رسوی سرخ لایه (Redbed) در فصل مشترک ماسه‌سنگ و کنگلومرای سرخ اکسیدان (هماتیت‌دار) و خاکستری به نسبت احیام (و به طور معمول پربت‌دار) تشکل می‌شوند.

رخداد مس مارکشه، در ماسه سنگ و کنگلومرای ریزدانه موجود در افق‌های احیایی سازند سرخ گرده تو شکل شده است. این سازند بر روی واحد تبخری مگو (Magou) قرار گرفته است. از ویژگی‌های مهم رخداد مس مارکشه، کانه‌زایی مس در قاعده کانال‌های دیرینه موجود در توالی ستیر سرخ گردید.

۸-۳. زئومتری، ساخت و بافت

ماده معدنی در کاسارهای نوع سرخ لایه (Redbed) (بدون کنترل ساختاری-گسلی) به صورت عدسی شکل و هم خواب با لایه‌بندی و در یک افق چینه‌ای خاص صورت می‌گیرد. بافت ماده معدنی در این کاسارها به طور معمول جانشینی و دانه‌پراکنده است. رخداد مس مارکشه نیز به صورت هم خواب با لایه‌بندی و بافت اصلی در آن، بافت جانشینه و دانه‌ای اکنده است.

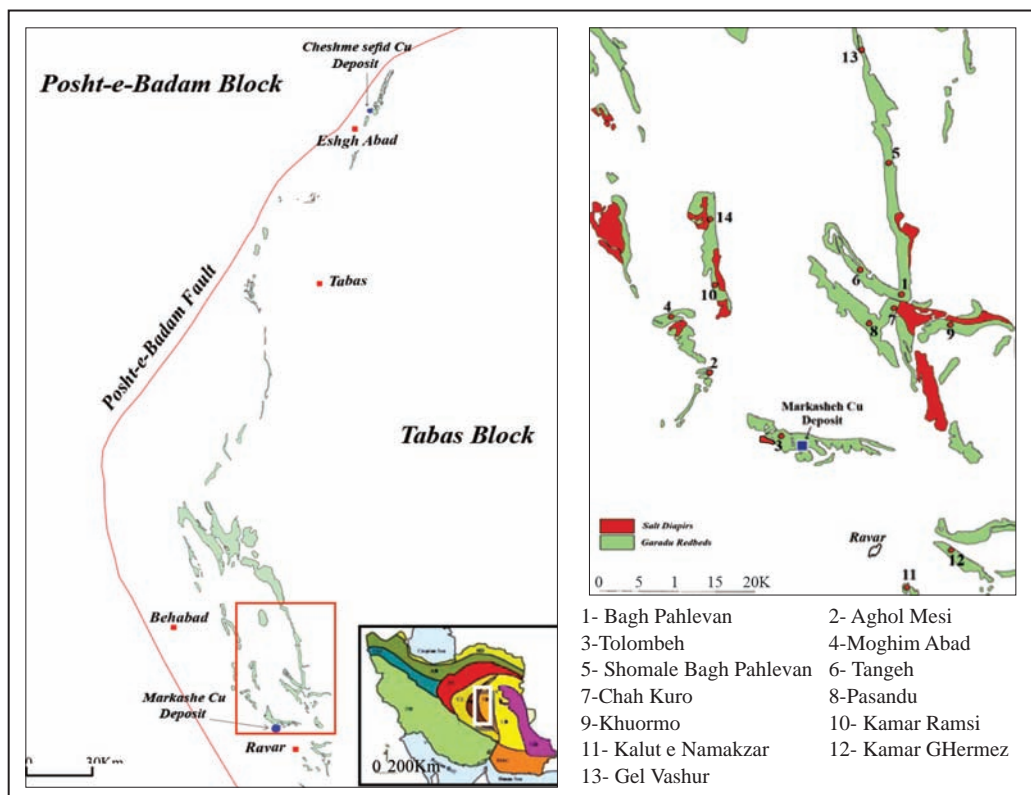
۸-۴. همیودی (یادآوری)

مواد معدنی در کانسارهای مس رسویی نوع سرخ لایه (Redbed) شامل

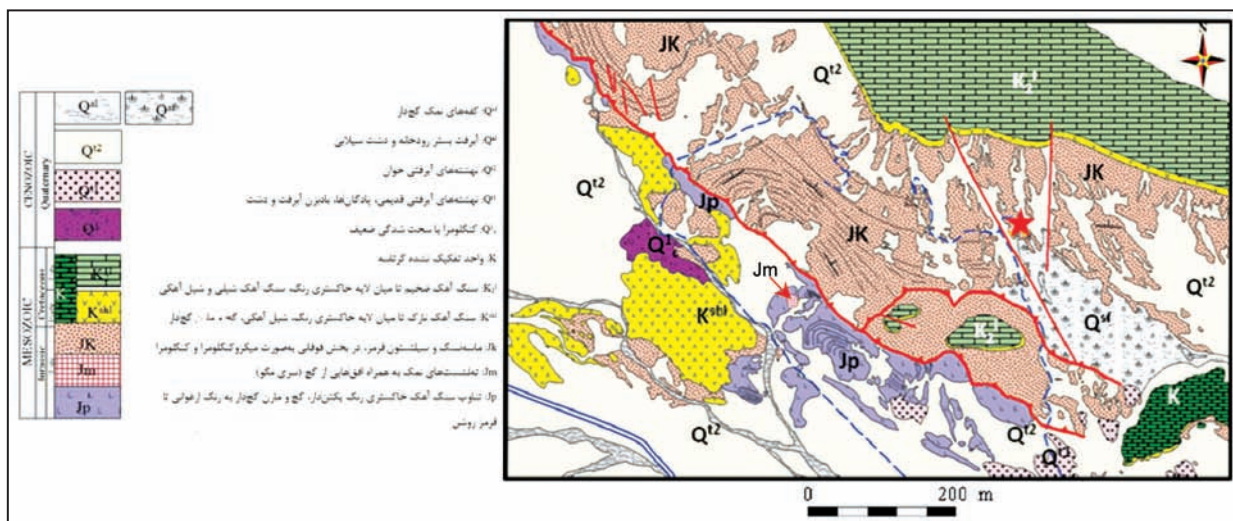
سپاسگزاری

نگارندگان بر خود لازم می‌دانند تا از حوزه معاونت محترم پژوهشی دانشگاه تربیت مدرس که در انجام این پژوهش یاری رساندند، سپاسگزاری نمایند.

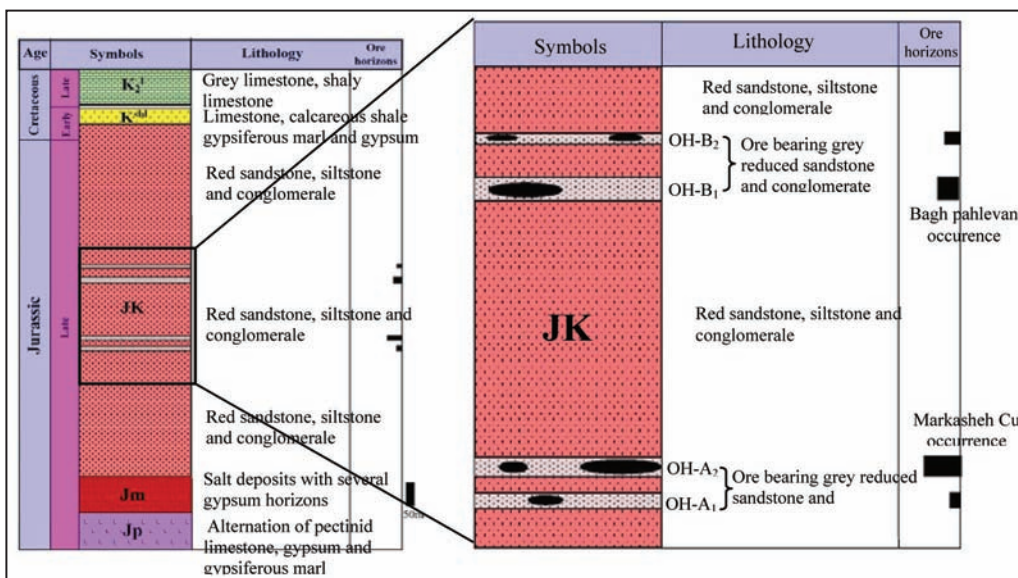
کیلومتر گسترش یافته است. با توجه به گسترش این نوع کانه‌زایی در ایران مرکزی و همچنین کانی‌سازی گسترده مس رویی در ناحیه تسوج-مند آذربایجان شرقی (نقی زاده و همکاران، ۱۳۸۶) و تربیت حیدریه به سن اوسن-الیگومن، ضرورت پی‌جوبی و اکتشاف این نوع کانی‌سازی‌ها به خوبی روشن می‌شود. بررسی رخداد مس مارکشه می‌تواند الگویی برای بررسی و اکتشاف این نوع کانسارها و بررسی عوامل کنترل کننده تشکیل و تمرکز آنها باشد.



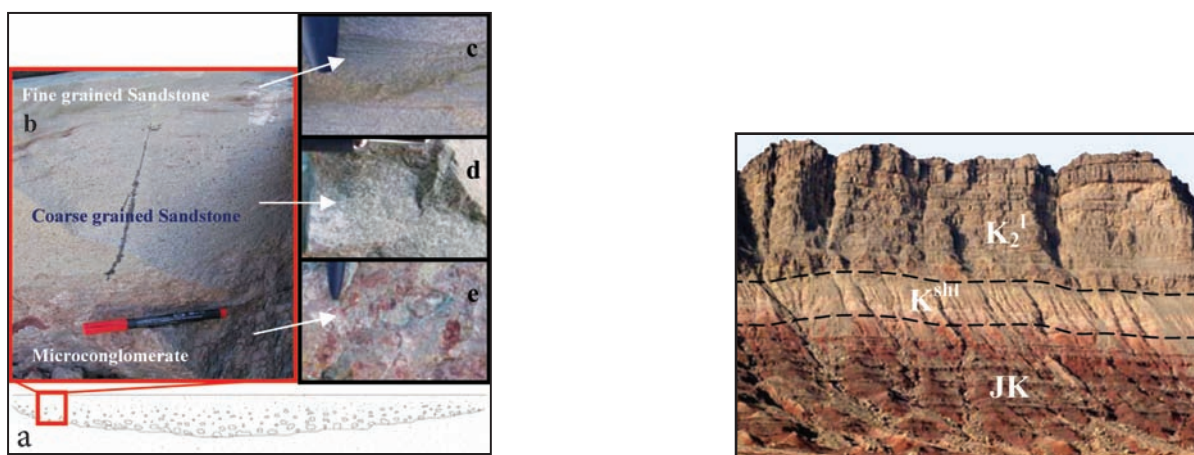
شکل ۱- گسترش سازند سرخ گرده و کانی‌سازی مس در پهنه مس رویی راور-طبس-عشق‌آباد و پراکنده‌ی رخدادها و اندیس‌های مس در آن در بلوک طبس. به نحوه گسترش و همراهی گبه‌های نمک به سن ژوراسیک بالا با سازند سرخ گرده و توچه شود.



شکل ۲- نقشه زمین‌شناسی ۱:۲۰۰۰۰ منطقه راور و موقعیت رخداد مس رویی مارکشه در لایه‌های سرخ گرده دو (واحد JK).

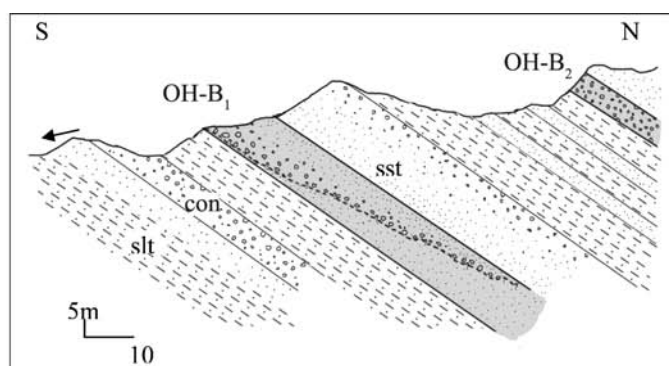
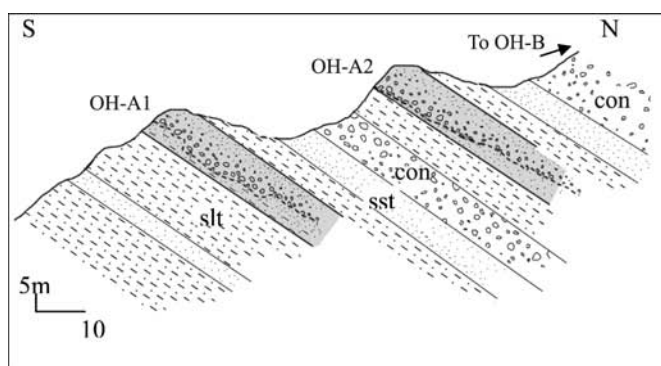


شکل ۳- ستون چینه‌شناسی عمومی از منطقه معدنی مارکشه و موقعیت افق‌های احیایی کانه‌دار در آن.



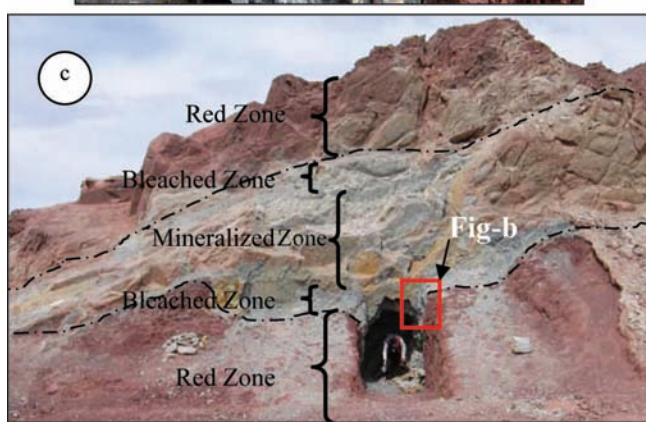
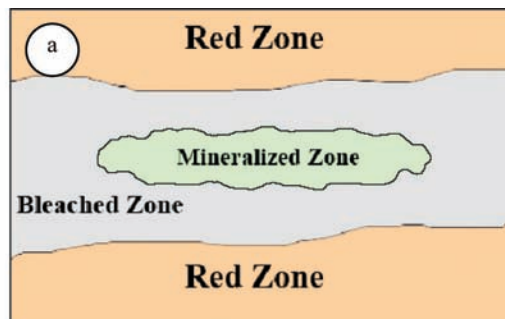
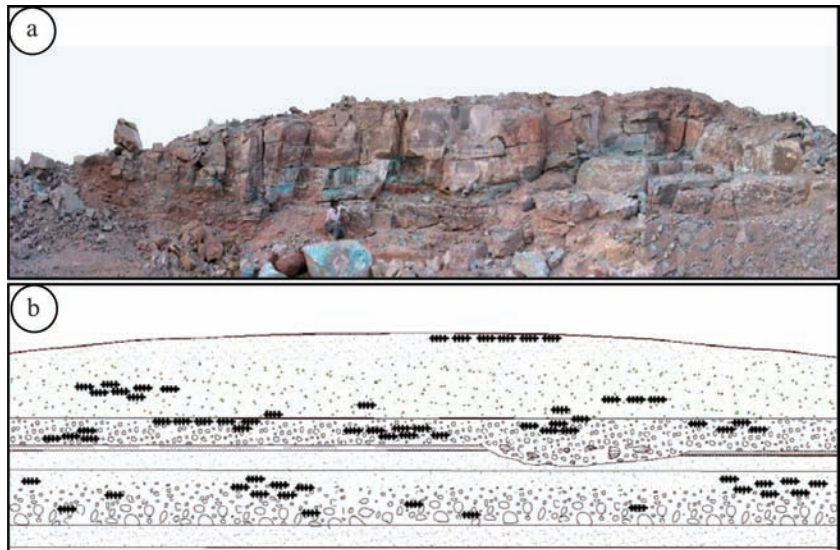
شکل ۵- (a) شکلی نمادین از کانال دیرینه موجود در یک افق احیایی در رخداد مارکشه که توسط رسوبات تخریبی ریزشونده به سمت بالا پر شده است. وضعیت قرارگیری این رسوبات نسبت به هم در شکل (b) مشخص شده است. قاعده این کانال دیرینه از کنگلومراهای ریزدانه (c) تشکیل شده است. کنگلومرا به طرف بالا به تدریج به ماسه‌سنگ (d) و ماسه‌سنگ بسیار دانه‌ریز (e) تبدیل می‌شود.

شکل ۴- نمای عمومی از لایه‌های سرخ گرهدو (JK) که توسط واحدهای سنگی مارن گچ‌دار (K^{shl}) و آهک‌های ستر لایه کرتاسه (K_2^1) پوشیده می‌شود.



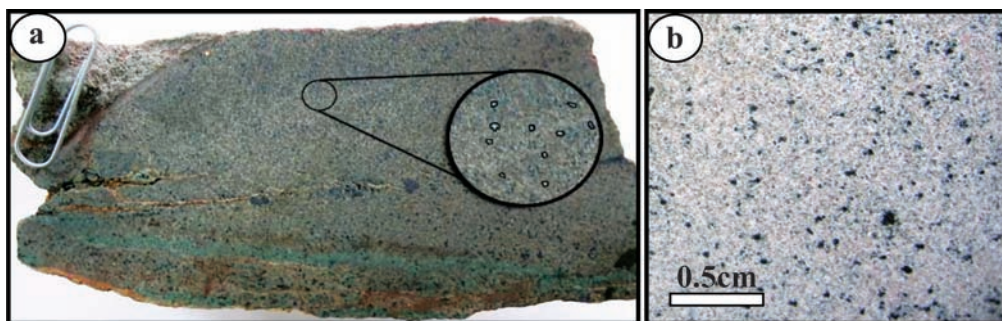
شکل ۶- مقطع عرضی از افق‌های اصلی کانه‌دار OH-A و OH-B و موقعیت زیر افق‌های آن نسبت به یکدیگر. OH-A - ماسه‌سنگ. OH-B - سیلتستون. slt - کنگلومرا.

شکل ۷- a) نمایی از کانال‌های دیرینه حاوی فسیل گیاهی و عدسی‌های کانه‌دار در ترانشه باختزی رخداد مارکشه b) شکلی نمادین از این ترانشه و موقعیت واحدهای سنگی و پراکندگی فسیل‌های گیاهی در آن. بخش‌های کانه‌دار بیشتر در اطراف فسیل‌های گیاهی قرار دارند. به نظر می‌رسد در این ترانشه دو چرخه ریز شونده به سمت بالا تشکیل شده است که هر کدام از آنها با میکروکنگلومرا و کنگلومرا ایجاد شروع و به سمت بالا ریز می‌شوند.

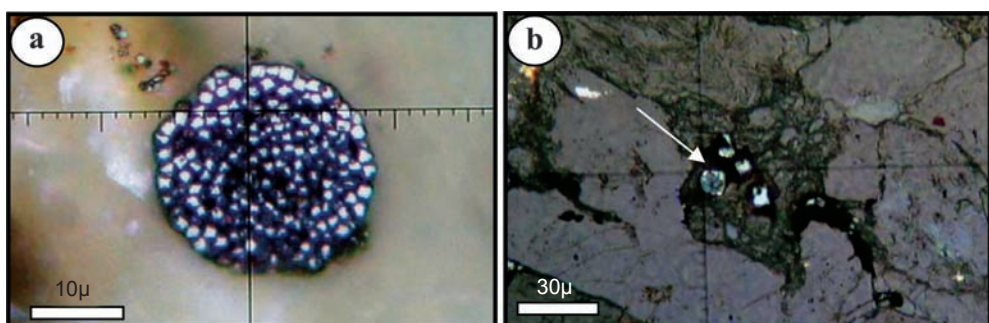


شکل ۸- نمایی از ماسهسنگ‌های لیتلارنیت حاوی فسیل گیاهی و دارای کانه‌زایی مس در رخداد مس مارکشه (a- مقیاس رخمنون و b- نمونه دستی)

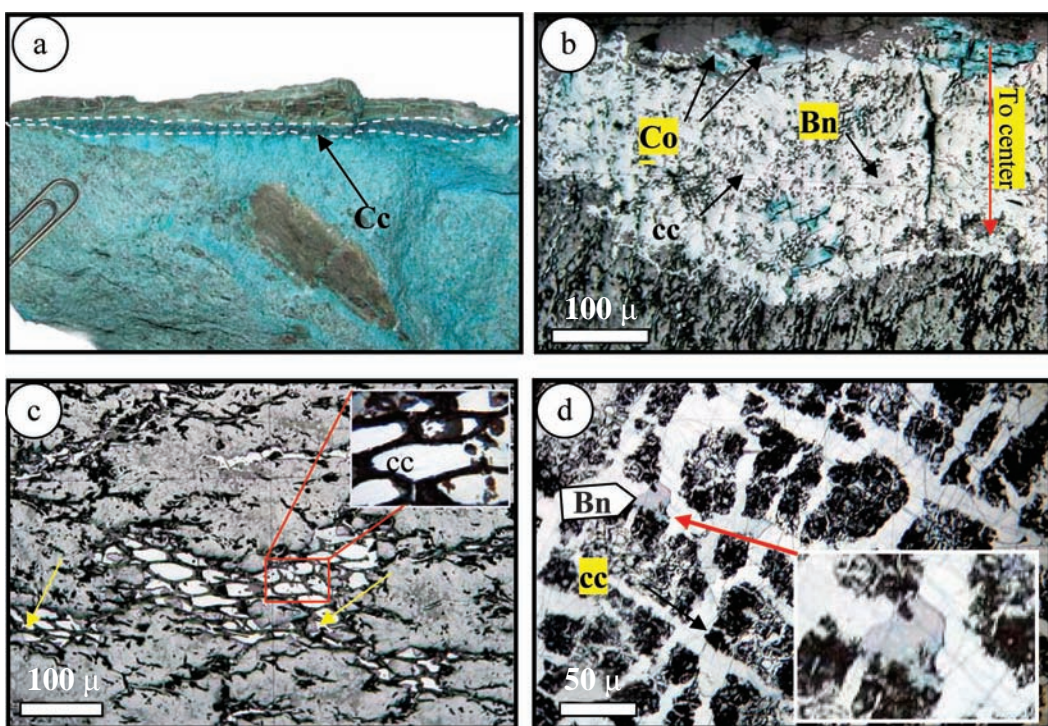
شکل ۹- a) شکل نمادین عمومی از چگونگی قرارگیری و ارتباط پهنه‌های سه گانه در افق احیایی میزان کانه‌زایی. b و c) نمایی از افق احیایی میزان کانه‌زایی و پهنه‌های آن. همان گونه که در تصویر ۶ دیده می‌شود، در پایین و بالای تصویر، پهنه سرخ اکسیدان و در مرکز پهنه شسته شده، بخش کانه‌دار با رنگ خاکستری قرار دارد.



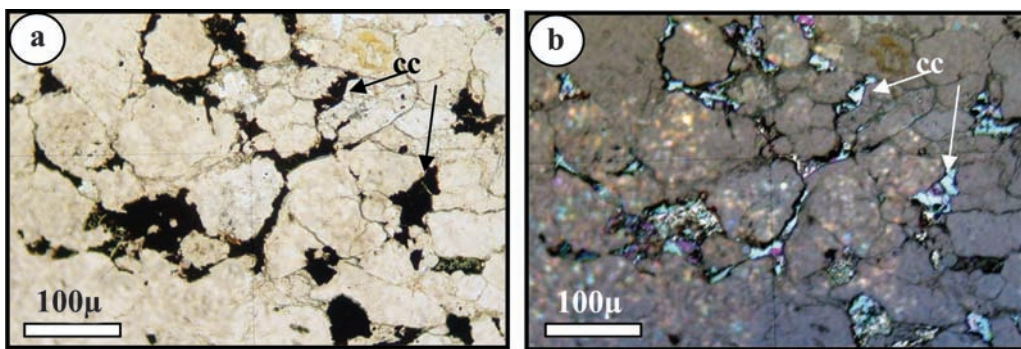
شکل ۱۰- a) بافت دانه پراکنده سولفیدهای مس در ماسه سنگ‌های خاکستری پهنه کانه‌دار. در این نمونه تراکم دانه‌های سولفیدی بالاست. b) نمای نزدیکی از تصویر a. دانه‌های تیره، کانی‌های سولفید مس هستند.



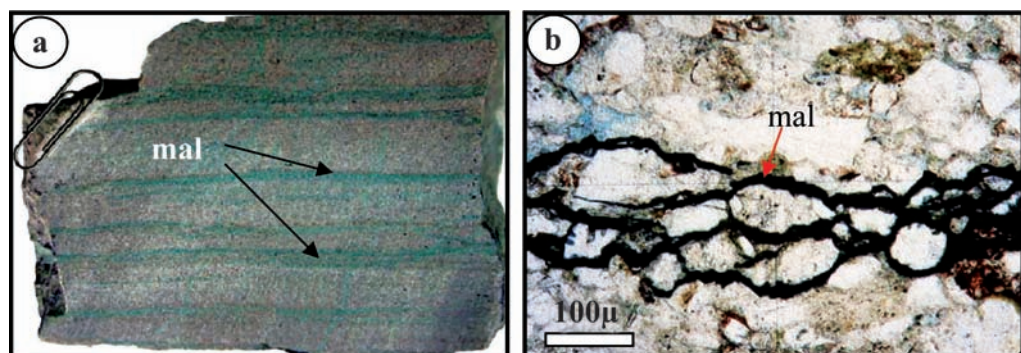
شکل ۱۱- a) نمایی از پیریت فرامبوئی‌ال اکه در مرحله دیازنتر اولیه و پس از تمثیل شدن آن سولفیدی از آن متبلور شده است (نور بازتابی در محیط Oil). b) پیریت دیازنیک خودشکل. هر دو نوع پیریت به صورت پراکنده در متن سنگ دیده می‌شوند.



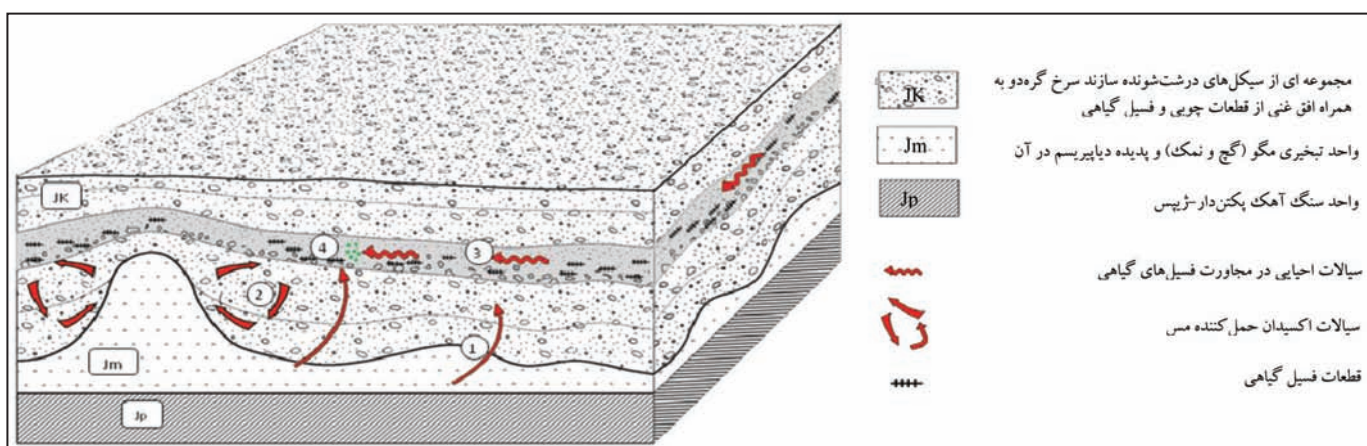
شکل ۱۲- جانشینی فسیل گیاهی توسط کالکوسبیت (a) کانی کالکوسبیت که به صورت یک نوار باریک از حاشیه جانشینی فسیل گیاهی شده است. (b) جانشینی سولفیدهای مس (کالکوسبیت، کولیت و بقایایی از بورنیت) از حاشیه به سمت مرکز فسیل گیاهی (نور ان بازتابی در محیط Oil). (c) (d) جانشینی سولفیدهای آوندهای فسیل گیاهی توسط سولفیدهای مس. cc = کالکوسبیت، Bn = بورنیت، Co = کولیت.



شکل ۱۳- نمایی از بافت سیمان میان دانه‌ای Impregnation در بین دانه‌های آواری سنگ میزان در پهنه احیایی کانه‌زایی شده که در آن کالکوست (cc) به صورت سیمان بین دانه‌های آواری را پر کرده است. a) در نور عبوری و b) در نور بازتابی



شکل ۱۴- a) قرار گیری کانی مالاکیت به صورت درزه اتحالی و ایجاد بافت لامینه دروغین در ماسه سنگ پهنه احیایی کانه‌زایی شده. b) تصویر میکروسکوپی (نور عبوری) از کانی مالاکیت درون لامینه دروغین که در آن کانی مالاکیت اطراف دانه‌های آواری را احاطه کرده است.



شکل ۱۵- مراحل تشکیل رخداد مس رویی مارکشه در لایه‌های سرخ گرده‌دو. ۱- تشكیل سیال اکسیدان از توالی تبخیری‌های ژوراسیک بالا؛ این سیال درون لایه‌های سرخ گرده‌دو به چرخش در می‌آید. ۲- شسته شدن مس و دیگر عناصر فلزی توسط سیال اکسیدان از درون لایه‌های سرخ گرده‌دو؛ مس به صورت کمپلکس کلریدی حمل و به سمت بخش‌های احیایی دارای مواد آلی و فسیل گیاهی حرکت می‌کند. ۳- تشكیل سیال احیایی در محل تجزیه ترکیبات آلی، به دلیل تمرکز قطعات فسیل گیاهی در کانال‌های دیرینه و در افق‌های احیایی، سیال احیایی باعث دگرسانی شستشو می‌شود. ۴- برخورد سیال‌های اکسیدان و احیا در مجاورت فسیل‌های گیاهی، ناپایدار شدن کمپلکس‌های کلریدی و تمثیل سولفیدهای مس و دیگر عناصر فلزی به صورت جانشینی و دانه پراکنده در بخش‌های مختلف فسیل‌های گیاهی (تصویر بدون مقیاس است).

جدول ۱- مراحل تشکیل و توالی پارازوتیک کانه‌ها، کانی‌ها و ساخت و بافت آنها در مرحله early diagenesis و پیش از دیازنر تدفینی Late diagenesis در رخداد مس رسویی مارکشه.

	Pre-Mineralization		Mineralization		Post-Mineralization	
	Diagenesis				Tectonic Processes (uplift)	Supergen
	Syn diagenesis	Early diagenesis	Middle diagenesis	Late diagenesis		
Redding						
Calcite cement						
Qtz overgrowth						
Organic destruction & acidic solution						
Porosity generation						
Bleaching						
Compaction						
Fracture						
Iron Oxide						
Framboidal pyrite						
Diagenetic pyrite						
Bornite						
Chalcocopyrite						
Chalcocite I						
Argentite						
Chalcocite II						
Covellite						
Digenite						
Native copper						
Malachite						
Chrysocolla						
Atacamite						
Neotocite						
Hematite						
Goethite						
Textures	Replacement					
	Solution seams					
	Vein-veinlet					
	Grain cement					
	Impregnation					
	disseminated					

جدول ۲- مقایسه رخداد مس مارکشه و کانسارهای Valley Lisbon و Nacimiento (به عنوان کانسارهای جهانی نوع Redbed)

Lisbon Valley	Nacimiento	مارکشه	کانسار
یوتا- آمریکا	نیومکزیکو- آمریکا	شمال باختر راور- ایران	موقعیت
کرتاسه تحتانی	تریاس	ژوراسیک- کرتاسه	سن
Cu	Cu-Ag	Cu-Ag	عناصر معدنی
کافت و محیط کششی	کافت و محیط کششی	محیط کششی	موقعیت زمین ساختی
جزر و مدلی	کم ژرف	جزر و مدلی	محیط تنشت
چینه کران تا چینه سان	عدسی و هم روند با لایه بندی	عدسی و هم روند با لایه بندی	ژئومتری
ماسه سنگ	ماسه سنگ و کنگلومرا	ماسه سنگ و میکرو کنگلومرا	سنگ میزان
کالکو سیت، بورنیت، کالکو پیریت، مالاکیت، آزوریت، توریت، کربزوکلا، آرژنتینیت	کالکو سیت، بورنیت، کوولیت، کالکو پیریت، مالاکیت، آزوریت، توریت، کربزوکلا، آرژنتینیت	کالکو سیت، بورنیت، کوولیت، کالکو پیریت، مالاکیت، کربزوکلا، آزوریت، توریت، آرژنتینیت	کانی شناسی کانسنگ
دانه پراکنده، جاشینی، رگه و رگچه	جانشینی، دانه پراکنده	Solution Seam	ساخت و بافت
Bleaching	Bleaching	Bleaching	دگرسانی
فیل گیاهی، پیریت دیاژنیکی، مواد هیدروکربنی	فیل گیاهی و پیریت دیاژنیکی	فیل گیاهی و پیریت دیاژنیکی	عامل احیا
وجود عامل احیاء، نفوذ پذیری سنگ میزان	وجود عامل احیاء و نفوذ پذیری سنگ میزان	وجود عامل احیاء و نفوذ پذیری سنگ میزان	عامل کنترل کننده کانی زایی
Red Bed SHC	Red Bed SHC	Red bed SHC*	تیپ کانی زایی
Thorson, 2005	Woodward et al., 1974	۱۳۸۷	منبع

*Redbed Sediment-hosted Copper deposits

کتابنگاری

آقاباتی، ع، ۱۳۸۳- زمین شناسی ایران، سازمان زمین شناسی و اکتشافات معدنی کشور. مهدوی، ا، ۱۳۸۷- زمین شناسی، کانی شناسی، ژئوشیمی و ژئر کانسار مس مارکشه، شمال غرب راور، استان کرمان. پایان نامه کارشناسی ارشد، دانشگاه تربیت مدرس.

مهدوی، ا، راستاد، ا و حسینی بزرگی، م، ۱۳۸۶- کانی شناسی و ساخت و بافت افقهای کانه دار کانسار مس رسوبی مارکشه (Redbed Type) در شمال باختر راور. بیست و ششمین گردهمایی علوم زمین.

نقیزاده، ر، عبادله، ش، دری، م، ب و ریاضی، ن، ۱۳۸۶- بررسی صحرایی کانی سازی مس در منطقه تسوج استان آذربایجان شرقی. بیست و ششمین گردهمایی علوم زمین.

References

- Asael, D., Matthews, A., Bar-Matthews, M. & Halicz, L., 2007- Copper isotope fractionation in sedimentary copper mineralization (Timna Valley, Israel). Chemical Geology 243 238–254.
- Berberian, M. & King, G. C., 1981- Towards a paleogeography and tectonic evaluation af Iran. Canadian Journal of Eaeth Sciences. Vol.18, No.2. pp. 210-265.

- Brown, A. C., 2003- Redbeds: source of metals for sediment-hosted stratiform copper, sandstone copper, sandstone lead, and sandstone uranium–vanadium deposits. In: Lentz DR (ed) Geochemistry of sediments and sedimentary rocks: evolutionary considerations to mineral deposit-forming environments. Geol Assoc Can Geotext 4:121–133.
- Brown, A. C., 2005- Refinements for footwall red-bed diagenesis in the sediment-hosted stratiform copper deposits model. Econ Geol 100:765–771
- Catuneanu, O., 2006- principles of Sequence stratigraphy. 1st edition. Elsevier. 375p.
- Chan, M. A., Parry, W. I. & Bowman, J. R., 2000- Diagenetic hematite and manganese oxides and faultrelated fluid flow in Jurassic sandstones, southeastern Utah. American Association of Petroleum Geologists Bulletin 84, 1281-1310.
- Cox, D. P., Lindsey, D. A., Singer , D. A. & Diggles, M. F., 2007- Sedimenthosted copper deposits of the world: deposit models and database. US Geological Survey, Open-file report 03-107, 50 p
- Durieux, C. G., Brown, A. C., 2007-Geological context, mineralization, and timing of the Juramento sediment-hosted stratiform copper–silver deposit, Salta district, northwestern Argentina. Miner Deposita 42:879–899
- Hitzman, M., Kirkham, R., Broughton, D., Thorson, J. & Selly, D., 2005- The sediment-hosted stratiform copper ore system. In: Thompson JFH, Goldfarb RJ, Richards JP (eds) 100th Anniversary volume. Society of Economic Geologists, pp 609–642
- Jowett, E. C., 1991- The evolution of ideas about the genesis of stratiform copper–silver deposits. Monogr Econ Geol Pub 8:117–132.
- Kirkham, R. V., 1996- Sediment-hosted stratiform copper. In: Eckstrand OR, Sinclair WD, Thorpe RI (eds) Geology of Canadian mineral deposit types. Geol Surv Can Geol Canada 8:223–240.
- MacIntyre, T. J., 2005- Fault-controlled hydrocarbon-related bleaching and sediment-hosted copper mineralization of the Jurassic Wingate sandstone at the Cashin Mine, Montrose county, Colorado. M.S thesis, Department of Geology and Geological Engineering.
- Mahdavi, A., Rastad, E. & Hosseyni M., 2008- Markasheh sediment-hosted stratiform Cu mineralization in the Ravar region, Central Iran, 33IGC,Oslo.
- Stocklin, J., Eftekhar Nezhad, J., Hushmandzadeh, A., 1972- Ceneral Lut reconnaissance. East Iran. Geol. Surv. Iran. Rept. 22, 62p.
- Subias, I., Fanlo, I. & Mateo, J., 2003- A model for the diagenetic formation of sandstone-hosted copper deposits in Tertiary sedimentary rocks, Arago'n (NE Spain): S/C ratios and sulphur isotope systematic. Ore Geology Reviews 23 ,55–70
- Thorson, J. P., 2005- Lisbon Valley sediment-hosted copper deposits and Paradox Basin fluids field trip, Economic geology, guidebook series, volume 37.
- Walker, T. R., 1989- Application of diagenetic alterations in redbeds to the origin of copper in stratiform copper deposits. In: Boyle RW, Brown AC, Jefferson CW, Jowett EC, Kirkham RV (eds) Sediment-hosted stratiform copper deposits. Geol Assoc Can Special Paper 36:85–96
- Woodward, L. A., Kaufman, W. H., Schumacher, O. L. & Talbott, L. W., 1974- strata-bound copper deposits in Triassic sandstone of Sierra Nacimiento, Mew Mexico: Economic Geology, v. 69, p. 108-120.